

# ГЕОХИМИЯ

**С.С. Боровиков, А.И. Грабежев, В.И. Сотников, Г.В. Пальгуева, В.Г. Гмыра**

## **НИЗКОТЕМПЕРАТУРНАЯ ФЛЮИДНАЯ ПЕРЕКРИСТАЛЛИЗАЦИЯ ГИДРОТЕРМАЛИТОВ ГУМЕШЕВСКОГО МЕСТОРОЖДЕНИЯ**

Гумешевское месторождение, относимое нами к скарново-медно-порфировой системе [Грабежев, Азовская, 2000], сформировалось в зоне глубинного Серовско-Маукского разлома, что обусловило директивность всех наблюдаемых структур от макро- до микроуровня. Линейное субмеридиональное простирание при крутом ( $60\text{--}80^\circ$ ) восточном падении свойственно как главной Гумешевской дайке кварцевых диоритов  $D_{1,2}$  возраста и ее многочисленным апофизам, так и останцам мраморов, кристаллических сланцев, серпентинитов. В полной мере это относится и к телам скарнов, разнообразных последующих метасоматитов и руд, для которых характерна линейная полосчатость при нередкой наблюдаемой ориентировке минералов, в том числе и рудных – сульфидов и магнетита. Из сказанного следует, что формирование месторождения, вплоть до заключительных стадий минералообразования, происходило в условиях стрессового давления. Это должно было сопровождаться перекристаллизацией ранних ассоциаций в низкотемпературном направлении, если исходить из регressiveного развития процесса. Возможно, этим объясняется широкое распространение на месторождении относительно низкотемпературных эпидот-гранатовых фаций скарнов. По геотермометру Л.Я. Арановича температура их образования не превышает  $360\text{--}400^\circ\text{C}$ . Примерно такая же температура получается по геотермометру Л.Л. Перчука для гранат-амфиболовой ассоциации, если использование этого геотермометра является в данном случае корректным. Температуры формирования послескарновых карбонатсодержащих метасоматитов и кварц-карбонатных жил по кальцит-доломитовому геотер-

мобарометру обычно варьирует, по определениям В.В. Мурзина, от  $400\text{--}450$  до  $250^\circ\text{C}$ , опускаясь в ряде образцов до  $150\text{--}200^\circ\text{C}$ .

Изучение газово-жидких включений подтверждает широкое развитие низкотемпературных изменений в пределах месторождения. В кварце и карбонате из прожилков и мелких обособлений в различных метасоматитах присутствуют однофазные (раствор) и двухфазные (раствор $>$ газ и газ $>$ раствор) включения размером обычно не более 20 мкм. В жильном кварце двухфазные включения характеризуются неправильной формой вакуолей, мелкие (до 5 мкм и меньше), существенно газовые, включения обычно обладают изометричной, близкой к сферической формой. В карбонате флюидные включения часто имеют форму отрицательного кристалла. Большинство флюидных включений в кварце и карбонате трассируют залеченные трещины и являются вторичными или псевдовторичными. В изученных образцах первичные флюидные включения встречаются весьма редко. В качестве критериев предполагаемого первичного происхождения включений при отсутствии кристаллической огранки минерала-хозяина были выбраны следующие особенности их расположения: обособленное положение одиночных включений или их скоплений по системам трещин, ровесное распределение флюидных включений в отдельных зернах минералов, расположение включений в виде закономерно ориентированных полосок и субпараллельных цепочек (фрагменты зон роста), приуроченность включений к контактным швам отдельных минеральных зерен [Ермаков, 1972; Реддер, 1978]. В изученных образцах было обнаружено весьма ограниченное количество флюидных вклю-

чений, которые могли быть определены как первичные, исходя из данных критериев. Такие, по всей видимости первичные, включения обнаружены в гранате обр. 3610-567, где они находятся в зонах роста отдельных зерен. Тоже относится к кварцу из образцов 3644-194 и 3652-455, эпидоту из обр. 3616-558 (табл.).

Температуры гомогенизации вторичных двухфазных включений (раствор>газ) в кварце и карбонате находятся в интервале 115–210°C, большинство включений гомогенизируется при 140–180°C (табл., рис. 1). В незамутненных гранате и эпидоте флюидные включения встречаются редко и температура их гомогенизации не превышает 200°C. Для немногочисленных предположительно первичных включений температура гомогенизации также низка – 135–185°C, поднимаясь до 370–390°C только в отдельных участках кварца из эпидот-кварцевых обособлений в эпидозите (обр. 3652-455). Исследова-

ние флюидных включений с помощью метода криометрии позволяет заключить, что они содержат водно-солевые растворы с общей концентрацией солей от 2 до 9 мас.% в NaCl эквиваленте (табл., рис. 2). Эти растворы по содержанию основных солевых компонентов можно отнести к водно-солевым системам  $\text{CaCl}_2 + \text{H}_2\text{O}$  с переменным содержанием NaCl,  $\text{MgCl}_2$  и KCl (температура эвтектики  $-55 \pm -49^\circ\text{C}$ ), NaCl +  $\text{H}_2\text{O}$  с примесью  $\text{MgCl}_2$  и KCl (температура эвтектики  $-38 \pm -37$  и  $-23 \pm -22^\circ\text{C}$ ), а также KCl +  $\text{H}_2\text{O}$ , где KCl резко преобладает в растворе над прочими солевыми компонентами (температура эвтектики составляет  $-10^\circ\text{C}$ ) [Борисенко, 1977; 1982]. Во включениях в кальците и кварце в образце 3345-698 вымораживалась фаза гидрата NaCl, который плавился при температуре  $-36 \pm -34^\circ\text{C}$  во включениях в кальците и при  $-38 \pm -36,6^\circ\text{C}$  во включениях в кварце. Эти данные дают возможность оценить концентра-

### Результаты исследований флюидных включений в минералах Гумешевского месторождения

Номер пробы	Минерал	Фазовый состав	Т°С гомогенизации	Т°С эвтектики	Т°С таяния льда	Общая концентрация, мас. % экв. NaCl
<b>Эпидот-кварцевые обособления в эпидозите (А*)</b>						
3652-455	Кварц	Ж>Г	160–200	-49	-6...-2	3,3–9,2
	Кварц	Ж≈Г	370–390	-55	-1,5...-1	1,7–2,5
<b>Зоны сильной сульфидизации в мраморах (Б)</b>						
3652-489	Карбонат	Ж>Г	130–175	-10	-6...-4	6,4–9,2
3676-342	Кварц	Ж>Г	170–210	-38...-37	-2...-1,5	3,0–3,3
<b>Эпидот-ангидрит-кальцитовая жила (В)</b>						
3616-558	Эпидот	Ж>Г	160–185	-10	-3...-2	3,3–4,9
<b>Альбит-кальцитовая жила (Г)</b>						
3337-266	Кальцит	Ж>Г	150–160	-37	-4...-3,5	5,0–6,4
<b>Кварцевые и кварц-карбонатные жилы безрудные (Д)</b>						
3701-207	Кварц	Ж>Г	135–170	-38...-37	-2...-1,8	3,0–3,3
3345-698	Кальцит	Ж>Г	125–150	-55	-9...-8	
	Кварц	Ж>Г	160–165	-55	-5...-4	
3644-194	Кварц	Ж>Г	135–145	-23...-21	-5...-4	6,4–7,9
<b>Мелкие кварц-кальцитовые обособления в сульфидно-кварц-карбонатных метасоматитах с реликтами граната и эпидота (Е)</b>						
3610-567	Гранат	Ж>Г	140–145	-23...-22	-1,5...-1	1,7–2,5
	Кальцит	Ж>Г	140–145	-23...-22	-1,5...-1	1,7–2,5
3870-385	Кварц	Ж>Г	115–150	-38...-37	-5...-4	6,4–7,9

Примечание. \* Здесь и ниже см. рис. 1, А–Д. Под карбонатом имеется ввиду ассоциация кальцита и анкерита. Определения выполнены А.А. Боровиковым (ИГ СО РАН, Новосибирск).

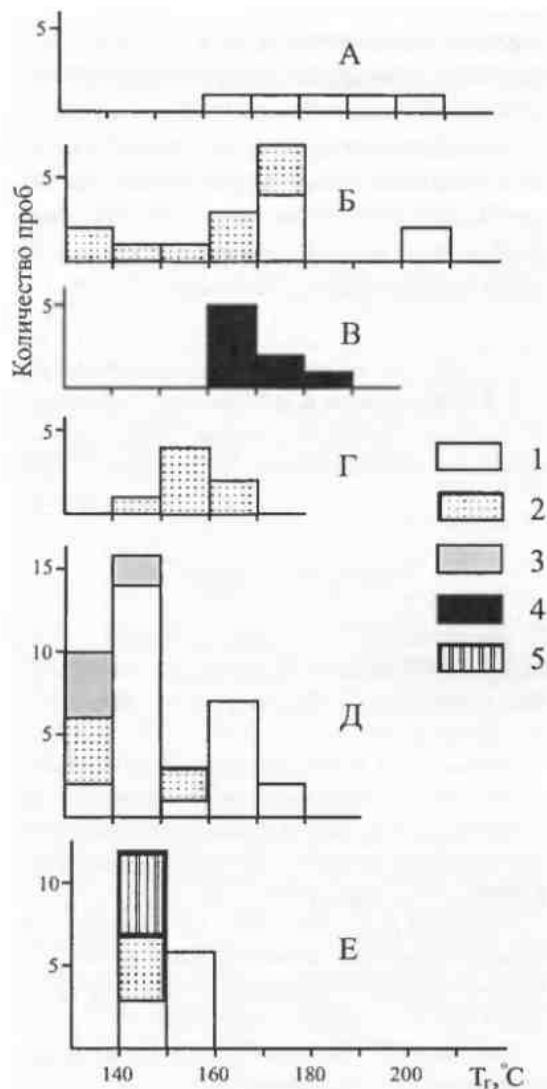


Рис. 1. Распределение температур гомогенизации газово-жидких включений в минералах Гумешевского месторождения.

А – эпидот-кварцевые обособления в эпидотите; Б – мелкие гнезда кварца и кальцита в сульфидных рудах; В – эпидот-ангибит-кальцитовая жила; Г – альбит-кальцитовая жила; Д – кварцевые и кварц-карбонатные жилы; Е – кварц-кальцитовые обособления с реликтами граната и эпидота в метасоматитах. 1–2 – вторичные включения в кварце (1) и кальците (2); 3–5 – первичные включения в кварце (3), эпидоте (4) и гранате (5).

цию  $\text{CaCl}_2$  и  $\text{NaCl}$  в растворах включений в данном образце [Борисенко, 1977; 1982]. Растворы включений в кальците содержат  $\text{CaCl}_2 \gg 8$  мас.% и  $\text{NaCl} \gg 2$  мас.%, в кварце соответственно 6 и

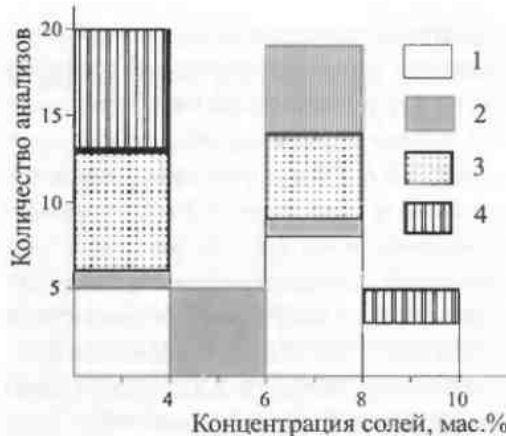


Рис. 2. Распределение концентрации солей (мас.-% – экв.  $\text{NaCl}$ ) в газово-жидких включениях из минералов Гумешевского месторождения.

1 – кварцевые и кварц-карбонатные жилы; 2 – альбит-кальцитовая и эпидот-ангидрит-кальцитовая жила; 3 – кварц-кальцитовые обособления с реликтами граната и эпидота; 4 – мелкие гнезда кварца и кальцита в сульфидных рудах и эпидозитах.

1 мас. %. Важно отметить, что относительно высокотемпературные ( $370\text{--}390^\circ\text{C}$ ) включения в кварце из эпидот-кварцевых обособлений также характеризуются низкой концентрацией солей (1,7–2,5 г/экв.  $\text{NaCl}$ ). Существенно газовые включения содержат весьма малоплотную газовую фазу, ни в одном из изученных газовых включений не было отмечено сжижения или кристаллизации  $\text{CO}_2$ , это свидетельствует о незначительных величинах давления флюида на момент образования изученных низкотемпературных включений.

Возможным подтверждением исключительно широкого развития флюидной низкотемпературной перекристаллизации скарнов и метасоматитов месторождения является широкое распространение замутнения граната, эпидота и клиноцизита. Обычно оно выражена слабо, но во многих случаях гранат и эпидот становятся полупрозрачными и даже непрозрачными. Ранее данное явление описано Д.С. Коржинским на примере полевого шпата из другого объекта и названо “мнимой пелитизацией”. Участки замутнения в гранате и эпидоте насыщены очень мелкими (1–10 мкм и меньше) двух-

фазовыми газово-жидкими включениями с температурой гомогенизации ниже 200°C. В этих участках кроме флюидных включений фиксируются твердые минеральные включения размером 20–30 мкм и меньше в виде округло-изометричной, реже ромбовидной, таблитчатой или неправильной формы зерен. Сильно выражена и трещиноватость, которая также создает эффект затумнения. По микрозондовому анализу в полу-прозрачных и непрозрачных участках фиксируется резкое понижение содержаний  $\text{SiO}_2$ ,  $\text{Fe}_2\text{O}_3$ ,  $\text{CaO}$  по сравнению с прозрачными гранатами. Содержания  $\text{Al}_2\text{O}_3$  (соответственно 2,11–2,97 и 3,35 мас.%) примерно одинаково, свидетельствуя о небольшом содержании глинистых минералов, а также малой подвижности алюминия в данном процессе. Сумма указанных компонентов не превышает 60 мас.%. Содержание  $\text{Na}_2\text{O}$  в непрозрачных псевдоморфах по гранату достигает 1,1–2,7 мас.% (в одном случае – до 5 мас.%), а хлора – 0,1–0,2 (редко до 0,6) мас.%. Возможно, эти компоненты связаны с газово-жидкими включениями, так как в прозрачном гранате натрий и хлор не фиксируются.

Время развития указанного низкотемпературного процесса неясно. Возможно, он завершает формирование месторождения в  $D_{1-2}$ . Не исключено, что данный процесс сопутствует образованию мощного меденосного карста, скорее всего мезозойского возраста, который включает и золотоносные тела, относимые к гипогенным аргиллизитам [Савельева и др., 1997]. В этот период происходит формирование в карстовой зоне крупных блоков высококачественного малахита, которым месторождение прославилось в XVIII–XIX веках.

Таким образом, флюидные включения в кварце и карbonате из сегрегационных и про-

жилковых выделений в различных метасоматитах и кварц-карбонатных жил, а также из скарновых минералов, характеризуются весьма низкими температурами гомогенизации и соленостью. Они являются преимущественно вторичными и первично-вторичными, фиксируя заключительный низкотемпературный этап повсеместной и интенсивной перекристаллизации в условиях очень низкого давления.

*Авторы признательны Д.Д.Штейнбергу, В.В.Черепанову и В.П.Молошагу за помощь в работе. Исследования выполнены при финансовой поддержке РФФИ (проект 00-05-64496) и ФЦП «Интеграция».*

#### Список литературы

*Борисенко А.С. Изучение солевого состава растворов газово-жидких включений в минералах методом криометрии // Геология и геофизика. 1977. № 8. С. 16–28.*

*Борисенко А.С. Анализ солевого состава растворов газово-жидких включений в минералах методом криометрии // Использование методов термо-барогеохимии при поисках и изучении рудных месторождений. М.: Недра, 1982. С. 37–47.*

*Грабежев А.И., Азовская О.Б. Гумешевское месторождение как представитель скарново-медно-порфировой системы // Ежегодник-1999. Екатеринбург: ИГГ УрО РАН. 2000. С. 243–247.*

*Ермаков Н.П. Геохимические системы включений в минералах. М.: Недра, 1972. 376 с.*

*Реддер Е. Флюидные включения в минералах. Т. 1, 2. М.: Мир, 1987. 632 с.*

*Савельева К.П., Кокорин Н.П., Костромин Д.А. и др. Проявление полигенного золоторудного метасоматоза в районе Гумешевского медно-скарнового месторождения // Метасоматическая зональность полигенных и полихронных месторождений. Екатеринбург, 1997. С. 66–67.*